теплоэнергетика

УДК 621.1

ЧИСЛЕННОЕ РЕШЕНИЕ ЗАДАЧИ НЕСТАЦИОНАРНОЙ ТЕПЛОПРОВОДНОСТИ В МНОГОСЛОЙНЫХ ТЕЛАХ

Докт. техн. наук, проф. ЕСЬМАН Р. И., инж. УСТИМОВИЧ В. А.

Белорусский национальный технический университет

Композиционные материалы, в силу своей структуры обладающие уникальными свойствами, широко применяются в современном производстве. В этом ряду значительный интерес вызывают стеновые строительные, тканевые и конструкционные продукты нового класса — волокнистые и многослойные, позволяющие получать изделия с заданными свойствами. Такие материалы типа «сэндвич» применяются в строительном производстве (гипсоволокнистые, гипсокартонные с огнеупорными, водостойкими и другими свойствами).

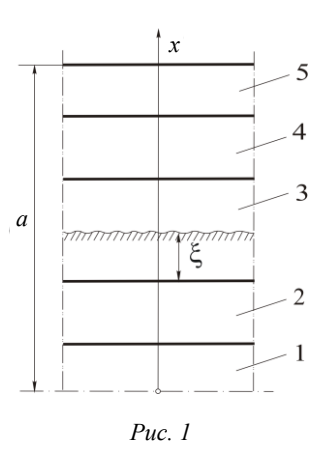
Использование многослойных материалов с заданным сочетанием физико-механических свойств открывает большие возможности для изготовления изделий и конструкций с повышенными качеством и эксплуатационными характеристиками для различных отраслей народного хозяйства Республики Беларусь. Выбор и комплектация разнородных слоев подобных продуктов обеспечивают получение изделий с набором заданных характеристик: высокопрочных, жаростойких, антикоррозийных и т. п.

Рассмотрим теплофизические особенности процесса теплообмена в многослойной стенке в общей постановке. Отдельные слои могут претерпевать фазовые или химические превращения (отвердевание термореактивных смол, гипсовых наполнителей, испарение или конденсация в пористых теплозащитных материалах). Расчет проводим с учетом фазовых превращений и зависимостей теплофизических характеристик сопряженных тел от температуры.

На рис. 1 приведена схема системы рассматриваемых тел в условиях симметрии. Приняты обозначения: 1 — металлическая или металлокерамическая матрица; 2 — неметаллическое покрытие (керамика, стекло- или базальтоволокнистые материалы); 3 — слой, в котором происходят фазовые или химические превращения (термореактивные смолы, гипс); 4, 5 — неметаллические слои со специальными свойствами (армированный углерод,

термостойкие покрытия и т. д.). Количество и материалы слоев могут быть различными в соответствии со служебными характеристиками и функциональными особенностями многослойной стенки.

Найдем распределение температуры в системе сопряженных тел для каждого момента времени. В этих условиях температурное поле многослойной стенки описывается системой нелинейных дифференциальных уравнений переноса теплоты (ввиду нелинейности потоков теплоты и граничных условий) с соответствующими краевыми условиями. Изменение темпе-



ратуры по сечению (вдоль координаты x) в любой момент времени для каждого слоя многослойной стенки определяется из решения системы дифференциальных уравнений теплопроводности

$$c_i(T_i)\rho_i(T_i)\frac{\partial T(x,t)}{\partial t} = \frac{\partial}{\partial x} \left[\lambda_i(T_i)\frac{\partial T_i(x,t)}{\partial x} \right],\tag{1}$$

где i — индекс, определяющий принадлежность уравнения и параметров к различным слоям многослойной стенки; $c_i(T_i)$ — удельная теплоемкость i-го слоя как функция температуры; $\rho_i(T_i)$ — плотность материала i-го слоя как функция температуры; $\lambda_i(T_i)$ — коэффициент теплопроводности i-го слоя как функция температуры; x — координата, направленная по нормали к поверхности стенки.

Условия теплового сопряжения на границах слоев (граничные условия IV рода) имеют вид:

$$\lambda_i(T_i) \frac{\partial T_i}{\partial t} = \lambda_{i-1}(T_{i-1}) \frac{\partial T_{i-1}}{\partial x},\tag{2}$$

$$x = x_i; T_i = T_{i-1},$$
 (3)

где $i = 1, 2, ..., n; x_i$ – длина сопряжений i-го и (i - 1)-го слоев.

В соответствии с условием задачи принимаем, что теплообмен на внешней поверхности многослойной стенки происходит по закону Ньютона — Рихмана. Тогда с учетом симметричной модели граничные условия запишутся так:

$$\frac{\partial T}{\partial x} = 0 \quad \text{при} \quad x = 0 \; ; \tag{4}$$

$$\lambda \frac{\partial T}{\partial x} = -\lambda (T - T_c)$$
 при $x = a$. (5)

Начальные условия имеют вид

$$T_i(x,0) = T_{i0}$$
 при $i = 1, 2, ..., n$. (6)

Для рассматриваемой схемы (рис. 1) для слоя 3 решается задача с фазовыми превращениями с подвижной границей фаз.

На границе раздела фаз (в слое 3) при $x = \xi$ запишем условия фазового перехода [1]:

$$T_3' = T_3'' = T_{d_1}(\xi, t);$$
 (7)

$$\lambda_3' \frac{\partial T_3(\xi,t)}{\partial x} - \lambda_3'' \frac{\partial T_3(\xi,t)}{\partial x} = \rho_3 r \frac{d\xi}{dt}$$
 при $x = \xi$, (8)

где T_{ϕ} — температура фронта фазовых превращений; ρ_3 — плотность материала; r — удельная теплота фазового перехода.

Линейный источник при координате $x = \xi$ представим с помощью δ -функции Дирака. При этом воспользуемся основным свойством δ -функции [2]

$$\int_{-\infty}^{\infty} f(x)\delta(x-\xi)dx = f(\xi). \tag{9}$$

Для решения задачи фазового перехода применяется метод сглаживания: δ -функция заменяется δ -образной функцией $\delta(T-T_{\phi},\Delta)$, отличной от нуля лишь на интервале $(T_{\phi}-\Delta,T_{\phi}+\Delta)$ и удовлетворяющей условию нормировки:

$$\int_{T_{\Phi}-\Delta}^{T_{\Phi}+\Delta} \delta(T - T_{\Phi}, \Delta) dT = 1.$$
 (10)

Сглаживая на интервале $(T_{\phi} - \Delta, T_{\phi} + \Delta)$ функции $\delta_3'(T)$, $\delta_3''(T)$, $c_3''(T)$, $\lambda_3''(T)$, $\lambda_3''(T)$, например, при линейной зависимости между значениями в твердой фазе при $T < T_{\phi} - \Delta$ и в жидкой фазе при $T > T_{\phi} + \Delta$, получим квазилинейное уравнение, по форме совпадающее с дифференциальным уравнением (1). Для решения полученного квазилинейного уравнения можно использовать разностные методы.

Из граничных условий (2) видно, что температурные функции на границе слоев не имеют разрывов, а претерпевают разрыв первые производные. Этот факт дает возможность рассматривать систему сопряженных тел как стенку с теплофизическими свойствами, зависящими от координаты и температуры и терпящими разрыв на границе слоев.

Учитывая это обстоятельство, а также вводя безразмерные переменные, перепишем систему дифференциальных уравнений и краевые условия в безразмерных переменных:

$$c(u,x)\rho(u,x)\frac{\partial u(x,t)}{\partial t} = \frac{\partial}{\partial x} \left[\lambda(u,x)\frac{\partial u}{\partial x} \right]; \tag{11}$$

$$\frac{\partial u}{\partial x} = 0$$
 при $x = 0$; (12)

$$\lambda \frac{\partial u}{\partial x} = -\alpha u \quad \text{при } x = 1; \tag{13}$$

$$u = (x, 0) = u_0(x),$$
 (14)

где u — безразмерная температура, определяется в каждой точке системы в любой момент времени; $u = \frac{T - T_0}{T_0}$; x — безразмерная координата, пред-

ставляющая отношение текущей координаты к наружному размеру многослойной стенки; T_0 – температура окружающей среды.

Для решения поставленной задачи используем метод сеток. Для численного решения уравнения (11) перейдем к конечно-разностному аналогу. Расчетную область многослойного тела заполним нерегулярной сеткой с узлами x_i , где i=1,2,...,n, причем количество узлов в каждом слое обозначаем через n_i . Тогда шаг сетки на каждом слое $h_i=a_i/n_i$, где a_i безразмерная толщина i-го слоя. Введем в рассмотрение также фиктивную сетку, узлы которой на полшага h_i сдвинуты к оси, так что границы слоев отстают на полшага от смежных узлов. Обозначим нумерацию узлов сетки

от
$$-1$$
 до n , где $n = \sum_{i=1}^{5} n_i$.

Для конечно-разностной аппроксимации производных в (11) используем четырехточечную неявную схему. Тогда рассматриваемую задачу можно свести к итерационной системе алгебраических уравнений

$$\alpha_{i}^{2} \rho_{i} c_{i} \frac{u_{i}^{l+1} - u_{i}^{l}}{\tau} = \frac{1}{\overline{h}} \left(\lambda_{i+\frac{1}{2}} \frac{u_{i+1}^{l+1} - u_{i}^{l+1}}{h_{+}} - \lambda_{i-\frac{1}{2}} \frac{u_{i}^{l+1} - u_{i-1}^{l+1}}{h_{-}} \right), \tag{15}$$

где i = 0, 1, 2, ..., n - 1.

Аналогичным образом проведем аппроксимацию краевых условий на соответствующей сетке. Разностный аналог граничных условий имеет вид:

$$\lambda_{n-\frac{1}{2}} \frac{u_n^{l+1} - u_{n-1}^{l+1}}{h_n} = -\alpha \frac{u_n^{l+1} + u_{n-1}^{l+1}}{2}; \tag{16}$$

$$u_i^0 = \overline{u}$$
 при $i = 1, 0, ..., n-1$;

$$u_i^0 = 0$$
 при $i = n_1, n + 1, ..., n$.

Начальные условия запишем следующим образом:

$$u_{-1} = u_0. (17)$$

Теплофизические коэффициенты в выражениях (15), (16) вычисляем по температуре на предыдущем временном слое, взятой в узле сетки при целом индексе и в середине между двумя узлами при половинном индексе.

Количество (n+2) уравнений (15), (16) определяем (n+2) неизвестных сеточных функций n_i (i=-1,0,...,n). На каждом временном шаге система (n+2) уравнений (15), (16) решается с помощью прогоночных соотношений:

$$\beta_0 = 1;$$
 $\gamma_0 = 1;$

$$\beta_{i+1} = \frac{\lambda_{i+\frac{1}{2}}/(\bar{h}h_{+}) + \lambda_{i-\frac{1}{2}}/(\bar{h}h_{-}) + c_{i}\rho_{i}\frac{a^{2}}{\tau}}{\lambda_{i+\frac{1}{2}}/(\bar{h}h_{+}) - \lambda_{i-\frac{1}{2}}/(\bar{h}h_{-})\beta_{i}};$$
(18)

$$\gamma_{i+1} = \frac{\lambda_{i-\frac{1}{2}}/(\overline{h}h_{-})\gamma_{i} + \frac{\overline{a}^{2}}{\tau}c_{i}\rho_{i}u_{i}^{l}}{\lambda_{i+\frac{1}{2}}/(\overline{h}h_{+})},$$

где i = 0, 1, ..., n - 1.

$$u_n^{l+1} = \frac{\gamma_n}{1 + \alpha a h_n / \left(2\lambda_{n-\frac{1}{2}}\right) - \beta_n};$$

$$\frac{1 - \alpha a h_n / \left(2\lambda_{n-\frac{1}{2}}\right) - \beta_n}{1 - \alpha a h_n / \left(2\lambda_{n-\frac{1}{2}}\right)}$$

$$u_{i-1}^{l+1} = u_i^{l+1} \beta_i + \gamma_i,$$

$$u_{i-1}^{(1)} = u_i^{(1)} \beta_i + \gamma_i,$$
 где $i=n, n-1, \ldots, 0;$ $h_+ = x_{i+1} - x_i; \quad h_- = x_i - x_{i-1};$

$$\overline{h} - \frac{h_+ + h_-}{2}; \quad h_n - x_n - x_{n-1}.$$

вывод

По результатам численного эксперимента установлен характер распределения температур в сечении многослойной стенки, который определяется геометрическими соотношениями и термическим сопротивлением отдельных слоев стенки. При наличии слоя с фазовыми и химическими превращениями теплота поглощается в основном данным слоем. Температурное поле многослойной стенки в определенной степени зависит также от тепловых условий на поверхностях стенки. Из анализа температурного поля выявлена роль начальных параметров и толщин отдельных слоев стенки.

Набор материалов отдельных слоев обусловлен функциональными особенностями стенки (прочностными, термо- и жаростойкими, антикоррозионными и т. д.) и зависит от эксплуатационных свойств изделий, их служебного назначения.

Универсальность разработанной математической модели и численного метода решения позволяет рассчитывать многослойные изделия с заданными служебными характеристиками для различных отраслей народного хозяйства (энергетической, нефтехимической, машино- и приборостроительной и т. д.).

ЛИТЕРАТУРА

1. Е с ь м а н, Р. И. Расчеты процессов литья / Р. И. Есьман, Н. П. Жмакин, Л. И. Шуб. – Минск: Вышэйш. шк., 1977. – 264 с.

Представлена кафедрой промышленной теплоэнергетики и теплотехники